

УДК 548.736:549.737:539.26

**СУПРАМОЛЕКУЛЯРНЫЕ СИСТЕМЫ С УЧАСТИЕМ  
 $\text{Ca}^{2+}$ ,  $[\text{Mo}_3\text{O}_2\text{S}_2\text{Cl}_6(\text{H}_2\text{O})_3]^{2-}$ ,  $[\text{Mo}_3\text{S}_4\text{Cl}_{6,75}\text{Br}_{0,25}(\text{H}_2\text{O})_2]^{3-}$  И КУКУРБИТ[6]УРИЛА**

© 2010 П.А. Абрамов<sup>1\*</sup>, С.А. Адонин<sup>2</sup>, Е.В. Пересыпкина<sup>1</sup>, М.Н. Соколов<sup>1,2</sup>, В.П. Федин<sup>1,2</sup>

<sup>1</sup>Учреждение Российской академии наук Институт неорганической химии им. А.В. Николаева СО РАН,  
 Новосибирск

<sup>2</sup>Новосибирский государственный университет

Статья поступила 10 августа 2009 г.

Получены и структурно охарактеризованы аддукты кукурбит[6]урила с  $\text{Ca}^{2+}$  и треугольными кластерными хлороаквакомплексами,  $(\text{H}_7\text{O}_4)_2(\text{H}_7\text{O}_3)_2[(\text{Ca}(\text{H}_2\text{O})_5)_2(\text{C}_{36}\text{H}_{36}\text{N}_{24}\text{O}_{12})]\text{Cl}_8 \cdot 0,67\text{H}_2\text{O}$  (**1**) и  $[(\text{Ca}(\text{H}_2\text{O})_5)_2(\text{C}_{36}\text{H}_{36}\text{N}_{24}\text{O}_{12})][\text{Mo}_3\text{O}_2\text{S}_2\text{Cl}_6(\text{H}_2\text{O})_3]_2 \cdot 13\text{H}_2\text{O}$  (**2**). В структурах обоих соединений присутствуют полимерные катионы состава  $\{[\text{Ca}(\text{H}_2\text{O})_n]\}_2^{2+} \text{CB}[6]\}_{\infty}$ , образующие бесконечные колонны, пространство между которыми заполнено анионами  $\text{Cl}^-$  (**1**) и  $[\text{Mo}_3\text{O}_2\text{S}_2\text{Cl}_6(\text{H}_2\text{O})_3]^{2-}$  (**2**). Получен и структурно охарактеризован комплекс  $(\text{H}_7\text{O}_3)_2(\text{H}_5\text{O}_2)[\text{Mo}_3\text{S}_4\text{Cl}_{6,25}\text{Br}_{0,25}(\text{H}_2\text{O})_2] \cdot (\text{C}_{36}\text{H}_{36}\text{N}_{24}\text{O}_{12}) \cdot \text{CH}_2\text{Cl}_2 \cdot 6\text{H}_2\text{O}$  (**3**).

**Ключевые слова:** кальций, кластеры, молибден, сера, аквакомплексы, кукурбитурил, кристаллическая структура.

Трехъядерные кластерные аквакомплексы  $[\text{M}_3\text{Q}_4(\text{H}_2\text{O})_9]^{4+}$  ( $\text{M} = \text{Mo, W}$ ;  $\text{Q} = \text{O, S, Se}$ ) в солянокислых растворах образуют набор хлороаквакомплексов  $[\text{M}_3\text{Q}_4\text{Cl}_x(\text{H}_2\text{O})_{9-x}]^{(4-x)+}$  ( $x = 0—9$ ), изолировать и структурно охарактеризовать которые удалось лишь при использовании супрамолекулярного подхода, основанного на образовании комплементарных связей между карбонильными группами макроциклического кавитанда кукурбит[6]урила ( $\text{C}_{36}\text{H}_{36}\text{N}_{24}\text{O}_{12}$ ) и молекулами воды хлороаквакомплексов [1]. При этом для сохранения полной комплементарности необходимо, чтобы  $x$  не превышало 3. При нарушении этого принципа (в случае хлороаквакомплексов с высокой степенью замещения  $\text{H}_2\text{O}$  на  $\text{Cl}$ ) образуются менее устойчивые супрамолекулярные комплексы, которые далеко не всегда можно выделить в твердую фазу. Единственным исключением является комплекс  $[\text{Mo}_3\text{Se}_4\text{Cl}_5(\text{H}_2\text{O})_4]^-$ , выделенный в виде  $(\text{H}_3\text{O})_2 \times \times \{[\text{Mo}_3\text{Se}_4\text{Cl}_5(\text{H}_2\text{O})_4]_2(\text{CB}[6])\} \cdot 15\text{H}_2\text{O}$ , в структуре которого водородные связи между кукурбитурном и хлороаквакомплексом вообще не образуются, а кластерные анионы располагаются в пустотах между слоями, образованными молекулами кавитанда [2]. Использование более крупного кукурбит[8]урила позволило выделить продукты с еще большим значением  $x$  (до 7) в результате размещения кластерных хлороаквакомплексов в пустотах между большими молекулами кавитанда [3]. В настоящей работе мы изучили возможность включения кластерных анионных хлороаквакомплексов в пустоты между полимерными катионными цепочками, которые должны образовываться ионами  $\text{Ca}^{2+}$  с кукурбит[6]урилом, а также выделения хлороаквакомплексов с максимально возможной степенью замещения воды на хлорид.

#### ЭКСПЕРИМЕНТАЛЬНАЯ ЧАСТЬ

Исходные солянокислые растворы  $[\text{Mo}_3\text{O}_2\text{S}_2(\text{H}_2\text{O})_9]^{4+}$  получали по известной методике [4].  $(\text{Et}_4\text{N})_2[\text{Mo}_3\text{S}_7\text{Br}_6]$  получен согласно [5]. Кукурбит[6]урил получен по методике [6]. Остальные реагенты использовались без дополнительной очистки.

\* E-mail: abramov@niic.nsc.ru

**Синтез  $(\text{H}_9\text{O}_4)_2(\text{H}_7\text{O}_3)_2[(\text{Ca}(\text{H}_2\text{O})_5)_2(\text{C}_{36}\text{H}_{36}\text{N}_{24}\text{O}_{12})]\text{Cl}_8 \cdot 0,67\text{H}_2\text{O}$  (1).** К 1 мл раствора СВ[6] в 4 М HCl прилили 1 мл раствора CaCl<sub>2</sub> ( $2 \cdot 10^{-3}$  М). При стоянии на воздухе образуются бесцветные кристаллы, состав и структура которых были определены методом PCA. Выход 70 %.

**Синтез  $[(\text{Ca}(\text{H}_2\text{O})_5)_2(\text{C}_{36}\text{H}_{36}\text{N}_{24}\text{O}_{12})][\text{Mo}_3\text{O}_2\text{S}_2\text{Cl}_6(\text{H}_2\text{O})_3]_2 \cdot 13\text{H}_2\text{O}$  (2).** К 2 мл раствора  $[\text{Mo}_3(\mu_3\text{-S})(\mu_2\text{-S})(\mu_2\text{-O})_2(\text{H}_2\text{O})_9]^{4+}$  в 4 М HCl ( $2 \cdot 10^{-3}$  М) добавили 1 мл раствора СВ[6] (10 мг в 5 мл) и 2 мл раствора CaCl<sub>2</sub> ( $2 \cdot 10^{-3}$  М). Медленное упаривание приводит к выпадению зеленых кристаллов, состав и структура которых были определены методом рентгеноструктурного анализа (PCA). Выход 90 %.

**Синтез  $(\text{H}_7\text{O}_3)_2(\text{H}_5\text{O}_2)[\text{Mo}_3\text{S}_4\text{Cl}_{6,25}\text{Br}_{0,25}(\text{H}_2\text{O})_2]_2 \cdot (\text{C}_{36}\text{H}_{36}\text{N}_{24}\text{O}_{12}) \cdot \text{CH}_2\text{Cl}_2 \cdot 6\text{H}_2\text{O}$  (3).** К 1,0 г (0,8 ммоль) (Et<sub>4</sub>N)<sub>2</sub>[Mo<sub>3</sub>S<sub>7</sub>Br<sub>6</sub>] добавили 0,28 г (2,4 ммоль) L-валина, 0,7 мл 50 % раствора Et<sub>4</sub>NOH и кипятили в 20 мл ацетонитрила при перемешивании в течение 1 ч. Растворитель удалили при пониженном давлении на роторном испарителе, и твердый остаток экстрагировали 10 мл хлористого метилена. Экстракт упарили и добавили 10 мл 1М HCl, полученный светло-зеленый раствор профильтровали. К фильтрату добавили 5,0 мг (5 мкмоль) кукубит[6]урила, растворенные в минимальном количестве 4 М HCl. При упаривании раствора на воздухе в течение трех недель получены зелено-коричневые кристаллы комплекса, структура и состав которых были определены методом PCA.

**Рентгеноструктурное исследование.** Строение соединений 1—3 установлено методом PCA по стандартной методике на автоматическом четырехкружном дифрактометре Bruker X8 Apex, оснащенном двухкоординатным CCD-детектором, при пониженной температуре с использованием излучения молибденового анода ( $\lambda = 0,71073 \text{ \AA}$ ) и графитового монохроматора. Интенсивности отражений измерены методом ф-сканирования узких ( $0,5^\circ$ ) фреймов до  $2\theta = 55^\circ$ . Поглощение учтено эмпирически по программе SADABS [7]. Структура расшифрована прямым методом и уточнена полноматричным МНК в анизотропном для неводородных атомов приближении по комплексу программ SHELLX-97 [8]. Атомы водорода молекул кукубитурила уточнены в геометрически рассчитанных позициях. В структуре 1 и 3 атомы водорода молекул воды и оксониевых ионов локализованы из разностного синтеза электронной плотности (в 3 — по массиву с участием рефлексов с  $2\theta < 40^\circ$ ) и уточнены с тепловыми параметрами, равными  $U = 1,2U(\text{O})$ , в 3 — с наложением геометрических ограничений. В структуре 2 атомы водорода молекул воды не локализованы. Относительные веса позиций, статистически занятых атомами хлора и координированными молекулами воды в 2, а также атомами хлора и брома в 3, уточнялись при фиксированных параметрах тепловых смещений, а затем фиксировались в уточненных значениях: соотношения Cl/O в 2 составили 0,67/0,33, а Cl/Br в 3 — 0,75/0,25. Позиции разупорядоченных атомов в структуре обоих соединений разделить не удалось, поэтому они уточнялись с приравненными координатами и параметрами тепловых смещений. Кристаллографические данные и результаты уточнения структуры приведены в табл. 1, основные геометрические характеристики — в табл. 2.

## ОБСУЖДЕНИЕ РЕЗУЛЬТАТОВ

Кукубит[6]урил ( $\text{C}_{36}\text{H}_{36}\text{N}_{24}\text{O}_{12}$ , СВ[6]) является макроциклическим кавитандом, обладающим двумя гидрофильными порталами и полостью. Каждый портал формируют шесть карбонильных атомов кислорода, которые способны к образованию водородных связей либо к прямой координации ионов металлов. В структуре 1 Ca<sup>2+</sup> координирует СВ[6] таким образом, что образуется координационный полимерный катион  $\{[\text{Ca}(\text{H}_2\text{O})_4]^{2+}\text{CV}[6]\}_\infty$  (рис. 1). При этом два кationa кальция координируют атомы кислорода порталов двух молекул кукубит[6]урила, причем каждый катион Ca<sup>2+</sup> координирует один атом кислорода молекулы кукубитурила и два атома кислорода соседней молекулы кукубитурила (Ca—O 2,34—2,41 Å). Остальные координационные места каждого катиона занимают четыре молекулы воды (Ca—O 2,390(2)—2,482(1) Å), которые образуют прочные водородные связи как с молекулами воды, так и с атомами кислорода порталов кавитанда. Таким образом, формируются бесконечные колонны, на-

Таблица 1

Кристаллографические данные, параметры эксперимента и уточнения структур 1—3

Соединение	<b>1</b>	<b>2</b>	<b>3</b>
Брутто-формула	$\text{C}_{36}\text{H}_{89,34}\text{Ca}_2\text{Cl}_8\text{N}_{24}\text{O}_{36,67}$	$\text{C}_{36}\text{H}_{94}\text{Ca}_2\text{Cl}_{12}\text{Mo}_6\text{N}_{24}\text{O}_{45}\text{S}_4$	$\text{C}_{37}\text{H}_{73}\text{Br}_{0,25}\text{Cl}_{8,75}\text{Mo}_3\text{N}_{24}\text{O}_{28}\text{S}_4$
Мол. масса	1809,13	2792,79	2048,42
Температура, К	150,0(2)	150,0(2)	90,0(2)
Излучение $\gamma$ , Å	$\text{MoK}_\alpha$ (0,71073)	$\text{MoK}_\alpha$ (0,71073)	$\text{MoK}_\alpha$ (0,71073)
Сингония	Триклинная	Моноклинная	Моноклинная
Пр. гр.	$P\bar{1}$	$C2/c$	$P2_1/n$
$a$ , Å	10,3963(2)	30,4361(12)	16,1651(6)
$b$ , Å	13,9150(4)	10,4393(4)	17,5631(7)
$c$ , Å	14,2432(4)	33,4856(18)	24,5760(7)
$\alpha$ , град.	65,3250(10)	90	90
$\beta$ , град.	83,3760(10)	115,2980(10)	99,6230(10)
$\gamma$ , град.	79,8410(10)	90	90
$V$ , Å <sup>3</sup>	1840,98(8)	9619,1(7)	6879,2(4)
$Z$	1	4	4
$\rho_{\text{выч}}$ , г/см <sup>3</sup>	1,632	1,928	1,978
$\mu$ , мм <sup>-1</sup>	0,551	1,383	1,245
$F(000)$	943	5592	4138
Размеры кристалла, мм	0,18×0,10×0,10	0,10×0,05×0,05	0,21×0,13×0,04
Область сбора данных по $\theta$ , град.	1,58—27,5	1,48—25,0	1,68—27,5
Интервалы индексов отражений	$-8 \leq h \leq 13$ , $-18 \leq k \leq 17$ , $-18 \leq l \leq 18$	$-36 \leq h \leq 32$ , $-12 \leq k \leq 8$ , $-37 \leq l \leq 40$	$-21 \leq h \leq 21$ , $-22 \leq k \leq 22$ , $-30 \leq l \leq 25$
Измерено отражений	14343	26681	53237
Независимых отражений	8305 ( $R_{\text{int}} = 0,0230$ )	9129 ( $R_{\text{int}} = 0,0396$ )	14907 ( $R_{\text{int}} = 0,0535$ )
Отражений с $I > 2\sigma(I)$	6843	6967	6967
Число уточняемых параметров	564	596	1073
GOOF	1,046	1,037	1,012
$R_1$ (по $ F $ для отражений с $I > 2\sigma(I)$ )	0,0372	0,0596	0,0426
$wR_2$ (по $ F ^2$ для всех отражений)	0,0991	0,1954	0,1076
Остаточная электронная плотность (min/max), е/Å <sup>3</sup>	-0,485/0,574	-1,015/2,582	-0,733/1,883

правленные вдоль кристаллографической оси  $a$ . В структуре 1 можно условно выделить слои катионов кальция и слои из молекул кавитанда. Такая структура предполагает наличие полосей и каналов, что является родственной чертой со структурами клатратов. Аналогичный поликатион обнаружен в соединениях  $[\text{Ca}(\text{HSO}_4)_2]_2(\text{C}_{36}\text{H}_{36}\text{N}_{24}\text{O}_{12}) \cdot 13\text{H}_2\text{O}$  [6] и  $\{\text{Ca}(\text{H}_2\text{O})_3(\text{HSO}_4) \times (\text{CH}_3\text{OH})_2(\text{C}_{36}\text{H}_{36}\text{N}_{24}\text{O}_{12})\}(\text{HSO}_4)_2 \cdot 4\text{H}_2\text{O}$  [9].

Образование структур с достаточно просторными каналами может быть использовано для выделения анионных форм кластерных комплексов из солянокислых растворов. При этом возможно как образование катионной матрицы с последующей диффузией кластерных анионов, так и темплатное образование катионной матрицы. Действительно, при добавлении  $\text{CaCl}_2$  и СВ[6] к раствору кластерного оксотиокомплекса  $\text{Mo}_3\text{O}_2\text{S}_2^{4+}$  (aq) в 4 М  $\text{HCl}$ , содержащему смесь

Таблица 2

## Некоторые длины связей в структурах 1—3

1		2		3	
Связь	Длина, Å	Связь	Длина, Å	Связь	Длина, Å
Ca(1)—O(1)	2,3869(17)	Ca(1)—O(11)	2,442(5)	Mo(3)—Cl(32)	2,504(2)
Ca(1)—O(2)	2,4741(18)	Ca(1)—O(21)	2,413(5)	Mo(3)—O(33M)/Cl(33) <sup>3</sup>	2,353(5)
Ca(1)—O(3)	2,4400(16)	Ca(1)—O(22c)	2,465(5)	Mo(1)—Mo(2)	2,7668(5)
Ca(1)—O(4)	2,4197(17)	Ca(1)—O(5w)	2,494(6)	Mo(1)—Mo(3)	2,7730(5)
Ca(1)—O(5)	2,9225(19)	Ca(1)—O(8w)	2,374(6)	Mo(2)—Mo(3)	2,7536(6)
Ca(1)—O(11)	2,3411(14)	Ca(1)—O(10w)	2,577(8)	Mo(1)—S(1)	2,3382(12)
Ca(1)—O(12a) <sup>1</sup>	2,4102(14)	Ca(1)—O(11w)	2,424(6)	Mo(1)—S(2)	2,2929(11)
Ca(1)—O(32b)	2,4034(14)	Ca(1)—O(12w)	2,437(6)	Mo(1)—S(3)	2,2738(12)
O(1)—H(11)	0,77(3)	Mo(1)—Mo(2)	2,6341(9)	Mo(2)—S(1)	2,3483(12)
O(1)—H(12)	0,88(3)	Mo(1)—Mo(3)	2,6146(9)	Mo(2)—S(2)	2,2776(12)
O(2)—H(21)	0,78(3)	Mo(2)—Mo(3)	2,7076(9)	Mo(2)—S(4)	2,2437(13)
O(2)—H(22)	0,86(3)	Mo(1)—S(1)	2,344(2)	Mo(3)—S(1)	2,3289(12)
O(3)—H(31)	0,89(3)	Mo(2)—S(1)	2,3369(19)	Mo(3)—S(3)	2,2968(12)
O(3)—H(32)	0,82(3)	Mo(2)—S(2)	2,238(2)	Mo(3)—S(4)	2,2576(13)
O(4)—H(41)	0,77(3)	Mo(3)—S(1)	2,344(2)	Mo(1)—Cl(11)	2,4929(11)
O(4)—H(42)	0,85(3)	Mo(3)—S(2)	2,274(2)	Mo(1)—Cl(12)/Br(12) <sup>4</sup>	2,5856(10)
O(5)—H(51)	0,80(3)	Mo(1)—O(1)	1,989(6)	Mo(1)—Cl(13)	2,6320(11)
O(5)—H(52)	0,90(3)	Mo(1)—O(2)	1,937(5)	Mo(2)—Cl(21)	2,5297(11)
		Mo(2)—O(1)	2,027(5)	Mo(3)—Cl(31)	2,5357(13)
		Mo(3)—O(2)	1,931(6)	Mo(3)—Cl(32)	2,5230(12)
		Mo(1)—Cl(11)	2,489(3)	Mo(3)—Cl(33)	2,5849(11)
		Mo(1)—Cl(12)	2,492(2)	Mo(2)—O(21M)	2,220(3)
		Mo(1)—O(13M)	2,184(6)	Mo(2)—O(22M)	2,172(3)
		Mo(2)—O(23M)	2,219(5)	O(21M)—H(21A)	0,89(7)
		Mo(2)—Cl(21)	2,484(2)	O(21M)—H(21B)	0,78(7)
		Mo(2)—Cl(22)/O(22M) <sup>2</sup>	2,472(2)	O(22M)—H(23A)	0,80(7)
		Mo(3)—Cl(31)	2,493(2)	O(22M)—H(23B)	0,79(7)

<sup>1</sup> Коды симметрии, которыми размножены атомы: (a)  $x-1, y, z$ ; (b)  $-x+1, -y, -z$ ; (c)  $x, y-1, z$ .

<sup>2</sup> Позиция заселена статистически атомами Cl(22) и O(22M) с весами 0,67 и 0,33 соответственно.

<sup>3</sup> Позиция заселена статистически атомами O(33M) и Cl(33) с весами 0,67 и 0,33 соответственно.

<sup>4</sup> Позиция заселена статистически атомами Cl(12) и Br(12) с весами 0,75 и 0,25 соответственно.

аквахлорокомплексов  $[\text{Mo}_3\text{O}_2\text{S}_2\text{Cl}_{9-x}(\text{H}_2\text{O})_x]^{(4-x)+}$ , включающую как катионные, так и анионные формы (при добавлении CB[6] в отсутствие  $\text{CaCl}_2$  из таких растворов был выделен  $\{\text{[Mo}_3\text{O}_2\text{S}_2(\text{H}_2\text{O})_6\text{Cl}_3\}_2\text{Cl}_2\}\text{CB}[6]\cdot18\text{H}_2\text{O}$ , в котором атомы кислорода карбонильных групп портальев кукурубитурила образуют комплементарные водородные связи с молекулами воды, находящимися в *cis*-положении к шапочному атому серы [10]), происходит кристаллизация продукта состава  $[(\text{Ca}(\text{H}_2\text{O})_5)_2(\text{C}_{36}\text{H}_{36}\text{N}_{24}\text{O}_{12})][\text{Mo}_3\text{O}_2\text{S}_2\text{Cl}_6(\text{H}_2\text{O})_3]_2\cdot13\text{H}_2\text{O}$  (2) (рис. 2). В структуре 2 катионы кальция и молекулы кавитанда также образуют колонны вдоль кристаллографической оси *b*. Молекулы кукурубитурила наклонены относительно оси колонны (ось проходит через катионы кальция) на  $7^\circ$ . Соседние колонны связаны центром инверсии. Это приводит к тому, что соседние молекулы CB[6] наклонены в противоположные стороны, формируя полости для объемных кластерных анионов. Интересно, что такое поведение (искажение структуры "хозяина" под дей-

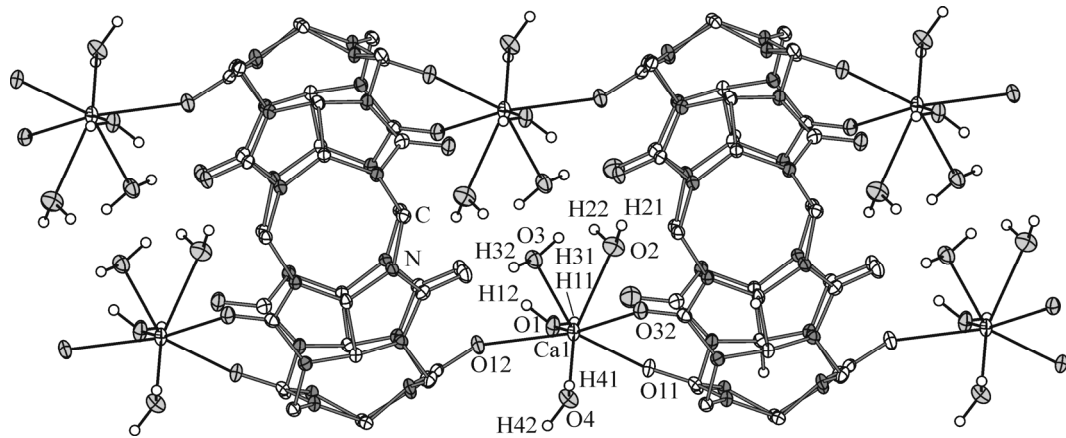


Рис. 1. Фрагмент полимерного катиона  $\{[\text{Ca}(\text{H}_2\text{O})_4]^{2+} \text{CB}[6]\}_\infty$  в структуре комплекса 1

ствием стерических требований "гостя") типично для клатратов. Координация  $\text{Ca}^{2+}$  в 2 несколько отличается от таковой в 1: в отличие от 1, каждый ион  $\text{Ca}^{2+}$  координирован не 4, а 5 молекулами воды.

Соединение  $(\text{H}_7\text{O}_3)_2(\text{H}_5\text{O}_2)[\text{Mo}_3\text{S}_4\text{Cl}_{6,25}\text{Br}_{0,25}(\text{H}_2\text{O})_2] \cdot (\text{C}_{36}\text{H}_{36}\text{N}_{24}\text{O}_{12}) \cdot \text{CH}_2\text{Cl}_2 \cdot 6\text{H}_2\text{O}$  (3) представляет собой редкий пример анионного хлороаквакомплекса, выделенного в присутствии CB[6]. За исключением  $(\text{H}_3\text{O})_2\{[\text{Mo}_3\text{Se}_4\text{Cl}_5(\text{H}_2\text{O})_4]_2(\text{CB}[6])\} \cdot 15\text{H}_2\text{O}$  [2], такие комплексы удавалось выделить только в присутствии CB[8], чему способствует, по-видимому, больший размер кавитанда, обеспечивающий более эффективную упаковку. Описаны также аддукты, содержащие анионы  $[\text{Mo}_3\text{S}_4\text{Cl}_6(\text{H}_2\text{O})_3]^{3-}$  и  $[\text{Mo}_3\text{S}_4\text{Cl}_7(\text{H}_2\text{O})_2]^{3-}$  [11]. В структуре 3 молекула кукурбит[6]урила закрыта с обеих сторон "крышками" ионов  $\text{H}_7\text{O}_3^+$ . Эти ионы имеют обычную геометрию ( $\text{O} \dots \text{O}$  2,44—2,60 Å) и образуют водородные связи с пятью из шести атомом кислорода порталов CB[6] ( $\text{O} \dots \text{O}$  2,60—2,80 Å), а также с одной из молекул воды ( $\text{O} \dots \text{O}$  2,92 Å). Структурная роль ионов  $\text{H}_7\text{O}_3^+$  в 3 отличается от таковой в соединениях  $(\text{H}_7\text{O}_3)_4[\text{MCl}_4]_2 \times \text{xCl}_2(\text{CB}[6]) \cdot 2\text{H}_2\text{O}$  ( $\text{M} = \text{Fe}, \text{Ga}$ ) [12], в которых они димеризуются так, что оба портала кукурбитурила закрыты с обеих сторон необычными ассоциатами  $\text{H}_{14}\text{O}_6^{2+}$  [13]. Внутри полости кукурбитурила находится гостевая молекула хлористого метилена, разупорядоченная по двум позициям. Наличие статистики Cl/Br 0,75/0,25 в составе аниона  $[\text{Mo}_3\text{S}_4\text{Cl}_{6,25}\text{Br}_{0,25}(\text{H}_2\text{O})_2]^{3-}$  подразумевает присутствие в структуре  $[\text{Mo}_3\text{S}_4\text{Cl}_7(\text{H}_2\text{O})_2]^{3-}$  и  $[\text{Mo}_3\text{S}_4\text{Cl}_6\text{Br}(\text{H}_2\text{O})_2]^{3-}$ , которые находятся в виде  $1c^2cd^23cd^2$  изомеров в отличие от  $1cd^2cd^3cd^2$  изомера  $[\text{Mo}_3\text{S}_4\text{Cl}_7(\text{H}_2\text{O})_2]^{3-}$  в кристаллической структуре комплекса 2.

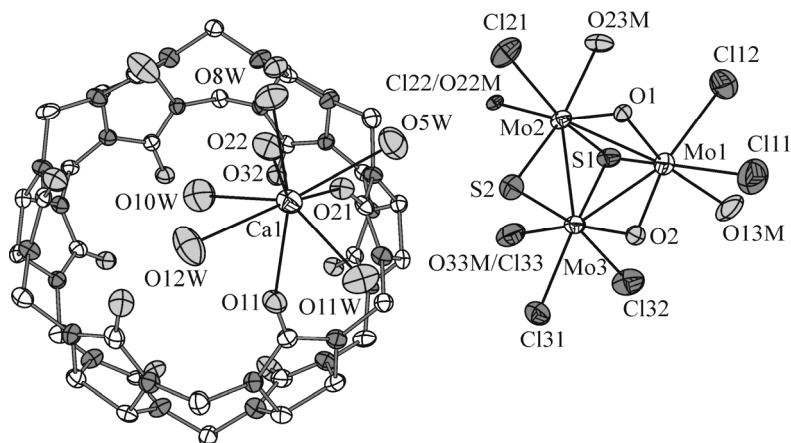


Рис. 2. Фрагмент кристаллической структуры комплекса 2

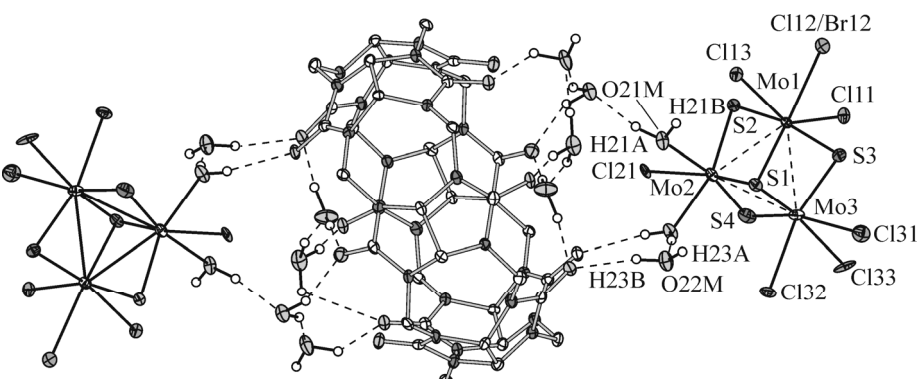


Рис. 3. Катион  $\text{H}_7\text{O}_3^+$  как связующее звено между молекулой CB[6] и кластерным анионом структуре комплекса 3

ской структуре  $(\text{H}_3\text{O})_8\{[\text{Mo}_3\text{S}_4\text{Cl}_6(\text{H}_2\text{O})_3][\text{Mo}_3\text{S}_4\text{Cl}_7(\text{H}_2\text{O})_2](\text{CB}[8])\}\text{Cl}(\text{PdCl}_4)\cdot 29\text{H}_2\text{O}$  [11]. Это, по-видимому, связано с тем, что в такой конфигурации две молекулы воды в *cis*-положении могут принимать участие в образовании водородных связей, приводящих к супрамолекулярным анионным ассоциатам типа  $\{\text{CB}[6](\text{H}_7\text{O}_3)_2(\text{H}_2\text{O})_2[\text{Mo}_3\text{S}_4\text{X}_7(\text{H}_2\text{O})_2]_2\}$  (рис. 3). Расстояния в кластерном ядре  $\{\text{Mo}_3\text{S}_4\}$  в 3 обычные.

Таким образом, в настоящей работе впервые определено строение кластерного аниона  $[\text{Mo}_3\text{O}_2\text{S}_2\text{Cl}_6(\text{H}_2\text{O})_3]^{2-}$ . Получены новые координационные полимеры, основанные на поликатионных цепях типа Ca—CB[6]—Ca—CB[6]..., и показана возможность их использования для селективного извлечения анионных кластерных форм.

Авторы выражают благодарность к.х.н. Н.В. Курачевой за проведение рентгеноструктурного эксперимента для **1** и **2**.

П.А. Абрамов благодарит фирму Хальдор-Топко за финансовую поддержку.

#### СПИСОК ЛИТЕРАТУРЫ

- Соколов М.Н., Дыбцев Д.Н., Федин В.П. // Изв. АН. Сер. хим. – 2003. – С. 987 – 1004.
- Fedin V.P., Sokolov M.N., Dybtsev D.N. et al. // Inorg. Chim. Acta. – 2002. – **331**. – Р. 31 – 38.
- Чубарова Е.В., Соколов М.Н., Самсоненко Д.Г. и др. // Журн. структур. химии. – 2006. – **47**. – С. 948 – 954.
- Martinez M., Ooi B.-L., Sykes A.G. // J. Amer. Chem. Soc. – 1987. – **109**. – Р. 4615 – 1619.
- Fedin V., Mironov Y., Sokolov M. et al. // Inorg. Chim. Acta. – 1990. – **167**. – Р. 39.
- Freeman W.A., Mock W.L., Shih N.-L. // J. Amer. Chem. Soc. – 1981. – **103**. – Р. 7367.
- Sheldrick G.M. SADABS v. 2.01, Bruker Area Detector Absorption Correction Program. – Bruker AXS. – Madison, Wisconsin, USA, 1998.
- Sheldrick G.M. SHELLX-97, Release 97-2. – Germany, Göttingen University, 1998.
- Самсоненко Д.Г., Шаронова А.А., Соколов М.Н. и др. // Координац. химия. – 2001. – **27**, № 1. – С. 12 – 17.
- Abramov P.A., Sokolov M.N., Fedin V.P. et al. // Eur. J. Inorg. Chem. – 2010. – в печати
- Чубарова Е.В., Самсоненко Д.Г., Платас Х.Г. и др. // Журн. структур. химии. – 2004. – **45**. – С. 950.
- Virovets A.V., Samsonenko D.G., Sokolov M.N. et al. // Acta Crystallogr. E. – 2000. – **57**. – Р. m33 – m34.
- Bernal I., Mukhopadhyay U., Virovets A.V. et al. // Chem. Comm. – 2005. – Р. 3791 – 3792.